

فرآیندهای نوین در مهندسی مواد

ma.iaumajlesi.ac.ir

مقایسه اثر افزودنی‌های نانو و مزوبور آلمینا با نانو کامپوزیت‌های آنها به همراه نانولوله‌های کربن بر ریزساختار، خواص فیزیکی و مکانیکی دیرگدازهای آلمینا - کربن

مقاله پژوهشی

مژده ملک پور جرقویه^۱، امیرعباس نوربخش^{۲*}، سید نظام الدین میرستاری^۳، علیرضا نظامزاده ازیه^۴

۱- گروه مهندسی مواد، واحد شهرضا، دانشگاه آزاد اسلامی، شهرضا، ایران.

۲- دانشیار، گروه مهندسی مواد، واحد شهرضا، دانشگاه آزاد اسلامی، شهرضا، ایران.

۳- استادیار، گروه شیمی معدنی، واحد شهرضا، دانشگاه آزاد اسلامی، شهرضا، ایران.

۴- استاد، گروه شیمی تجزیه، واحد شهرضا، دانشگاه آزاد اسلامی، شهرضا، ایران.

Anourbakhsh@yahoo.com*

چکیده

دیرگدازهای پایه آلمینا-کربن به دلیل خواص فیزیکی و مکانیکی منحصر به فرد خود به طور گسترده به عنوان دریچه کشویی، شرودنالز، مونوبولک استپر و نازل زیرسطحی در صنعت فولادسازی مورد استفاده قرار می‌گیرد. در این تحقیق تأثیر افزودنی‌های آلمینا (نانو و مزوبور) و کامپوزیت آنها به همراه نانولوله کربنی چند دیواره در دیرگدازهای آلمینا - کربن مورد بررسی قرار گرفت. در این راستا، مزوبور آلمینا با روش سل-ژل سنتر شد. سپس وزنی به آلمینا و نانو آلمینا به نانولوله کربنی عامل دار جهت تهیه نانو کامپوزیت اضافه گردید. جهت توزیع بهتر نانو افزودنی‌ها، مقادیر ۱/۵-۵/۱٪ درصد وزنی به جزء ریزدانه اضافه شد و پس از آن با ذرات درشت مواد موجود در بدنه آلمینا کربن مخلوط گردید. در ادامه جهت بررسی خواص فیزیکی و مکانیکی نمونه‌ها تحت پرس تک محور با فشار ۱۵۰ MPa ۱۵۰ شکل دهی و در دمای ۲۰۰ درجه سانتی گراد به مدت ۶ ساعت تمپر و در دمای ۱۴۵۰ درجه سانتی گراد به مدت ۲ ساعت در محیط اجایی تحت بسته کک پخت داده شدند. چگالی ظاهری، تخلخل ظاهری و استحکام فشاری سرد بر اساس استانداردها تعیین گردید و جهت تحلیل پدیده‌های ریزساختار و آنالیز فازی از SEM و XRD استفاده شد. نتایج نشان داد که نمونه حاوی ۱ درصد وزنی نانو کامپوزیت آلمینا-نانولوله کربنی چند دیواره دارای بالاترین استحکام فشاری سرد در حدود ۱۳۷ MPa و نمونه با ۱/۵ درصد وزنی مزوبور آلمینا کمترین استحکام فشاری سرد در حدود ۹۴ MPa را دارد. بهبود خواص مکانیکی می‌تواند با تشکیل ییتر SiC در حضور Al₂O₃-MWCNT انجام شود. مکانیزم بهار جامد مرتبط باشد. دلیل اصلی کاهش خواص مکانیکی با استفاده از افزودنی‌های مزوبور می‌تواند به محدودیت واکنش گاز-جامد به دلیل جبس عوامل گازی و لذا کمتر تشکیل شدن SiC در فاز زمینه ارتباط داده شود.

اطلاعات مقاله

دریافت: ۱۴۰۱/۰۶/۲۰

پذیرش: ۱۴۰۱/۱۰/۲۶

کلید واژگان:

آلومینا-کربن

مزوبور آلمینا

دیرگدازها

نانولوله کربنی

The Effect of (Nano, Mesoporous) Alumina and Their Composite with MWCNT Additives on Microstructure, Physical and Mechanical Properties of Alumina-C Refractories

Mozhdeh Malekpour Jarghouyeh^۱, Amir Abbas Nourbakhsh^{۲*}, Seyed Nezamoddin Mirsattari^۳, Alireza Nezamzadeh-Ejhieh^۴

۱- PhD Student of Materials Engineering, Department of Materials Engineering, Shahreza Branch, Islamic Azad University, Shahreza, Iran.

۲- Associated Professor, Department of Materials Science and Engineering, Shahreza Branch, Islamic Azad University, Shahreza, Iran.

۳- Assistant Professor, Department of Chemistry, Shahreza Branch, Islamic Azad University, Shahreza, Iran.

۴- Professor, Department of Chemistry, Shahreza Branch, Islamic Azad University, Shahreza, Iran.

* Anourbakhsh@yahoo.com

Article Information

Original Research Paper

Dor:

۲۰۱۰۰۱۱۲۴۲۳۳۲۲۶، ۱۴۰۲، ۱۷۳۳۱

Abstract

Alumina-C refractories have been widely used as slide gate, submerged entry nozzles, and mono block stoppers in steelmaking due to their unique physical and mechanical properties. In this research, the effect of different source of alumina having unlike surface areas (nano and mesoporous) and MWCNT additives on physical and mechanical properties of Al₂O₃-C refractories was investigated. In this regard, mesoporous alumina was synthesized by sol-gel method. Then, the mesoporous and nano alumina precursors were added to the

برای ارجاع به این مقاله از عبارت ذیل استفاده نمایید:

Please cite this article using:

Mozhdeh Malekpour Jarghouyeh, Amir Abbas Nourbakhsh, Seyed Nezamoddin Mirsattari, Alireza Nezamzadeh-Ejhieh, The Effect of (Nano, Mesoporous) Alumina and Their Composite with MWCNT Additives on Microstructure, Physical and Mechanical Properties of Alumina-C Refractories, New Process in Material Engineering, ۲۰۲۳، ۱۷(۲)، ۲۵-۳۵.

Keywords:

Al₂O₃-C

Al₂O₃Mesoporous

Refractories

MWCNT

۱- مقدمه

ترمو مکانیکی بدنه‌های دیرگداز آلومینا-کربن بررسی کردند و نشان دادند با استفاده از این افزودنی‌ها استحکام مکانیکی و مقاومت به شوک حرارتی در دمای اتفاق و دمای 1400°C بهبود یافته است. این خواص با ایجاد ویسکرها و فایبرها سرامیکی بعد از پخت در اتمسفر احیایی ایجاد گردید و مورفولوژی این فازهای ایجاد شده با توجه به نوع نانو افزودنی‌ها متفاوت خواهد بود. منابع نشان داد زمانی بهترین خواص مکانیکی و ترمومکانیکی به دست می‌آید که CNT و $\alpha\text{-Al}_2\text{O}_3$ به صورت هم‌زمان به کار برده شود [۸]. در پژوهش مشابه با سایر پژوهش‌های پیشین برجهولد و همکارانش^۶ نیز به بررسی اثر ترکیب نانو مواد (CNT و آلمینا) و سیلیکون نیمه‌هادی بر روی دیرگدازهای آلمینا-کربن با مقدار کربن اولیه 20% وزنی پرداختند. تمرکز اصلی این تیم تحقیقاتی بر روی استحکام خمشی سرد و ارزیابی بعد از شوک حرارتی بود و نشان دادند که با ترکیب این نانو مواد استحکام خمشی سرد افزایش یافت [۹]. در سال ۲۰۰۲ هوژانگ و همکارانش^۷ به بررسی اثر افزودن نانو آلمینا و نانو سیلیکا بر خواص دیرگدازهای کوراندومی پرداختند. نتایج نشان داد که هر دو نانو افزودنی می‌توانند باعث کاهش $200-100$ درجه سانتی‌گراد در دمای پخت شده و همچنین باعث افزایش صد درصد در شرایط پخت یکسان گردد [۱۰]. استحکام خمشی سرد در شرایط پخت یکسان گردد [۱۰]. ازیریس و همکاران در سال ۲۰۰۷، نشان دادند که مقدار قابل توجه از ویسکرهای دمبلی شکل $\text{SiC}-\beta$ در ساختار دیرگدازهای $\text{Al}_2\text{O}_3-\text{C}$ ایجاد شده و اگر پودر Si اضافه شده به ترکیب زیاد باشد و محدوده دمای پخت مناسبی برای دیرگداز در نظر گرفته شود، ویسکرهای SiC سوزنی نیز در زمینه وجود خواهد داشت. همچنین مطالعات بیشتر نشان داده که افزودن ترکیبی از TiO_2 و Si, Al نانو سایز به آجرهای $\text{Al}_2\text{O}_3-\text{ZrO}_4-\text{C}$ به علت حضور ویسکرهای دمبلی شکل SiC و فاز سوزنی شکل $\text{Ti}(\text{CN})$ منجر به مقاومت به شوک حرارتی شده است [۱۱]. لی و همکارانش در سال ۲۰۲۱ به بررسی اثر h-BN بر ریزساختار و خواص مکانیکی دیرگدازهای $\text{Al}_2\text{O}_3-\text{C}$ پرداختند و نشان دادند که نمونه

با تقاضای حداکثری صنعت، نیاز کارخانجات ریخته‌گری فولاد مدرن به دیرگدازهای کاربردی با کیفیت بالا همچون دریچه کشویی، مونوبلاک استوپر، نازل زیرسطحی و شروود نازل گسترش یافته است [۱-۲]. مقاومت به خوردگی بالا در مقابل مذاب و سرباره و همچنین مقاومت به شوک حرارتی در دمای بالا به همراه خواص ترمومکانیکی مناسب از ویژگی‌های دیرگدازهای آلمینا کربن است [۳-۵]. چالش‌هایی که تاکنون در منابع جهت بهبود دیرگدازهای آلمینا - کربن مورد بحث قرار گرفته‌اند عمدتاً در ارتباط با اصلاح نحوه اتصال فاز زمینه دیرگداز بوده است. در این راستا می‌توان به تأثیر تغییرات ریزساختاری بر روی بهبود مقاومت به اکسیداسیون در حضور آنتی‌اکسیدان که می‌تواند باعث افزایش طول عمر دیرگداز گردد، اشاره نمود. لی و همکارانش^۱ در سال ۲۰۱۲ به بررسی خواص مکانیکی و ریزساختاری دیرگدازهای آلمینا - کربن با افزودنی‌های Si, Al و SiO_2 پرداختند. ایشان از نانولوله‌های کربنی^۲ به عنوان بخشی از گرافیت استفاده نمودند و نشان دادند نمونه‌ای که حاوی 0.05% درصد وزنی نانولوله کربنی چند دیواره^۳ است نسبت به نمونه‌ای که تنها حاوی گرافیت پولکی بوده، خواص مکانیکی بهتری دارد که این بهبود ناشی از تشکیل فازهای سرامیکی در زمینه می‌باشد و باعث تقویت و افزایش استحکام آن می‌شود. این بهبود خواص مکانیکی به مورفولوژی ویسکرهای سیلیکون کاربید ایجاد شده توسط نانولوله‌های کربنی چند دیواره نسبت داده شد [۶]. رونگاز و همکارانش^۴ در سال ۲۰۱۲ بدنه‌های آلمینا - کربن با مقدار کربن کمتر از 30% و با حضور افزودنی‌های CNT و Al_2O_3 در اتمسفر احیایی در دمای 1400°C و 1000°C را تهیه کردند و نشان دادند عملکرد ترمومکانیکی عالی این بدنه‌ها به دلیل تشکیل فاز جدید Al_2CON ناشی از واکنش بین Al_2O_3 و CNT می‌باشد که این فازها باعث اتصال شیمیایی بهترین کربن و فاز پرکننده آلمینا می‌شود [۷]. در تحقیقی دیگر رونگاز و ازیریس^۵ اثر افزودن MgAl_2O_4 - Al_2O_3 و CNT را بر روی خواص فیزیکی مکانیکی و

P123 به ۱۶۰ میلی لیتراتانول اضافه شد و به مدت ۲ ساعت بر روی همزن مغناطیسی در دمای ۴۰ درجه سانتی گراد قرار داده و پس از گذشت ۲ ساعت مقدار ۱۸ میلی لیترنیتریک اسید (HNO₃, Merck) به محلول اضافه کرده و مجدد به مدت ۳۰ دقیقه بر روی همزن مغناطیسی در همان دما گذاشته شد. محلول حاوی آلمینیوم ایزوپروکساید را به آرامی به محلول حاوی P123 اضافه کرده و به مدت ۲ ساعت در دمای ۴۰ درجه سانتی گراد بر روی همزن مغناطیسی قرار داده شد. پس از گذشت مراحل آماده‌سازی محلول به دست آمده به مدت ۴/۵ روز در دمای ۶۵ درجه سانتی گراد داخل آون قرار گرفت. نمونه خشک شده در دمای ۶۰۰ درجه سانتی گراد به مدت ۶ ساعت با نرخ ۰/۵°C/min کلیسینه شد [۱۴].

۲-۲- تهیه نانو کامپوزیت MWCNT-Al₂O₃

جهت تهیه نانو کامپوزیت MWCNT-Al₂O₃ ابتدا ۵ گرم از (Al₂O₃, alpha, ۹۹%, ۸۰nm, US) پودر نانو آلمینیا در آب توزیع (مقدار محتوی Research Nanomaterials) جامد به دوغاب (۴۰%) و جهت تنظیم PH در محدوده چهار از نیتریک اسید استفاده و به مدت ۳۰ دقیقه بر روی همزن مغناطیسی گذاشته شد. در ظرف جداگانه ۱ درصد وزنی (MWCNT, ۹۹%, OD:۳۰- ۵۰nm, US Research Nanomaterials) آب به وسیله اولتراسونیک توزیع کرده سپس در حد ۰/۵ گرم سدیم دو دوسيل سولفات (NaO₄S, Merck) به آن اضافه و به مدت ۱ ساعت تحت اولتراسونیک قرار داده شد. محلول حاوی MWCNT عامل دار شده در حالی که تحت اولتراسونیک می‌باشد به آرامی به محلول حاوی پودر نانو آلمینیا اضافه و به مدت ۲ ساعت بر روی همزن مغناطیسی گذاشته و سپس به مدت ۲۴ ساعت در دمای ۱۲۰ درجه سانتی گراد خشک شد. پودر به دست آمده در دمای ۶۰۰ درجه سانتی گراد به مدت ۴ ساعت تحت اتمسفر آرگون قرار گرفت [۱۵-۱۶].

حاوی ۰/۵ درصد وزنی h-BN دارای بهترین خواص مکانیکی می‌باشد. افزودن h-BN می‌تواند قطر ویسکرهای SiC را کاهش دهد که منجر به بالاترین مقاومت خمشی سرد (MPa) (۴۲.۶۳ ± ۳.۱۰) می‌شود. علاوه بر این، نتایج نشان می‌دهد که نمونه ۰/۵ درصد وزنی h-BN دارای بالاترین مقاومت در برابر ترک خوردگی و انتشار بوده که می‌توان آن را به اثر حضور ویسکرهای h-BN و SiC و مکانیزم انحراف ترک نسبت داد [۱۲]. بقایی و همکارانش در سال ۲۰۲۱ به بررسی فوم آلمینیایی حاوی نانو TiO₂ با پوشش فعال هرسینیت پرداختند. فیلترهای فومی آلمینیا-کربن حاوی ۱Wt% TiO₂ نانو با استفاده از سیستم پایدارسازی بهینه با و بدون پوشش فعال هرسینیتی ساخته شدند. عبور موقت آمیز فولاد مذاب از فیلترها، کارایی و استحکام آنها را در برابر شرایط دمای ریخته گری و جریان مذاب از ساختار فیلتر اثبات کرد. بررسی‌های ریزساختاری فیلتر با پوشش فعال هرسینیتی پس از فیلتراسیون مذاب نشان داد، بازده فیلتراسیون افزایش و مقدار اکسیژن مذاب به دلیل جذب اکسیژن از فولاد مذاب کاهش یافته است [۱۳]. بررسی‌های انجام گرفته توسط مطالعات کتابخانه‌ای نشان داد اگرچه در زمینه افودن نانو کامپوزیت‌ها به سرامیک‌های مهندسی دیرگدازهای Al₂O₃-C تحقیقاتی صورت پذیرفته ولیکن در زمینه افزودن نانو کامپوزیت آلمینیا- نانولوله کربنی با ساختار نانو و مزوپور آلمینیا تحقیقات مدونی در مراجع یافت نگردید.

۲- مواد اولیه و روش تحقیق

۲-۱- تهیه مزوپور آلمینیا

به منظور تهیه مزوپور آلمینیا از آلمینیوم ایزو پروپکساید (Al[OCH(CH₃)₂]₃, Sigma-Aldrich) به عنوان پیش ماده و تری بلک کوبیلیمر (P123, Sigma-Aldrich) به عنوان ماده فعال سطحی استفاده شد. ابتدا مقدار ۲۴/۴ گرم آلمینیوم ایزوپروپکساید به ۸۰ میلی لیتراتانول بدون آب (C₂H₅O₂, merck) Anhydrous, ۹۹.۹% به اضافه گردید و به مدت ۱ ساعت بر روی همزن مغناطیسی در دمای ۴۰ درجه سانتی گراد قرار گرفت. سپس در ظرف دیگر مقدار ۱۲ گرم

$$\text{CPFT}/100 = (D_s^q - D_{sL}^q) / (D_L^q - D_s^q) \quad (1)$$

جهت ساخت نمونه دیرگداز ابتدا ذرات پودر موجود در فرمولاسیون بدنه آلمینا – کربن را از الک ۰/۰۲mm عبور داده و به صورت مکانیکی با یکدیگر مخلوط گردید (نانو افزودنی‌های آلمینا، مزوپور آلمینا، نانو کامپوزیت MWCNT-Al₂O₃ و نانو کامپوزیت MWCNT-Al₂O₃ Mesoporous Al₂O₃ به نسبت‌های ۱/۵ و ۱/۵ درصد وزنی در این مرحله اضافه شد). جهت دستیابی به ویسکوزیته مناسب رزین فنولی در تمام مراحل انجام کار در دمای ۴۵ درجه سانتی گراد قرار گرفت. در مرحله دوم ۵۰٪ از رزین به ذرات درشت‌دانه آلمینا تبular اضافه و به صورت مکانیکی به مدت ۵ دقیقه با یکدیگر به طور کامل مخلوط شد. سپس پودر به دست‌آمده از مرحله قبل را اضافه و به مدت ۵ دقیقه مخلوط گردید. ۵۰ درصد رزین باقی‌مانده طی دو مرحله به ترکیب اضافه و در ادامه به مدت ۱۰ دقیقه عملیات مخلوط سازی انجام شد. مخلوط به دست‌آمده به مدت ۲۴ ساعت در شرایط محیط با حفظ حداقل دمای ۲۰ درجه سانتی گراد و حداقل ۳۰ درجه سانتی گراد قرار داده شد. جهت بررسی خواص فیزیکی و مکانیکی مخلوط در قالب‌هایی به قطر ۲۰۰ mm و ارتفاع ۲۵ mm با فشار ۱۵۰ MPa تهیه و در دمای ۵۰ درجه سانتی گراد به مدت ۶ ساعت با نرخ ۰/۲ °C/min قرار گرفت. نمونه‌های به دست‌آمده در محیط احیایی در بستر کک در دمای ۱۴۵۰ درجه سانتی گراد به مدت ۲ ساعت گذاشته شد. جدول (۱) نشان‌دهنده ترکیب نمونه‌های تهیه شده در حضور افزودنی‌ها می‌باشد. کد W مربوط به نمونه مرجع، کد A نشان‌دهنده نمونه حاوی نانو آلمینا، کد M نمونه حاوی مزوپور آلمینا، کد CA نمونه حاوی نانو کامپوزیت MWCNT-Al₂O₃ و کد CM مربوط به نانو کامپوزیت MWCNT-Mesoporous Al₂O₃ می‌باشد.

۳-۲- تهیه نانو کامپوزیت MWCNT-Mesoporous Al₂O₃

ابتدا مقدار ۵ گرم پودر مزوپور آلمینا و ۰/۵ گرم پلی‌اتیلن گلیکول (PEG ۴۰۰۰, Merck) به ۵۰ میلی لیتراتانول اضافه کرده و در دستگاه اولتراسونیک قرار داده شد. در ظرف جداگانه مقدار ۱ درصد وزنی MWCNT عامل دار شده، ۰/۵ درصد وزنی سدیم دودسیل سولفات به ۵۰ میلی لیتراتانول اضافه و به مدت ۱ ساعت در اولتراسونیک گذاشته شد. سپس محلول حاوی MWCNT عامل دار شده را به آرامی به محلول حاوی مزوپور آلمینا اضافه کرده و مجدد به مدت ۱ ساعت بر روی همزن مغناطیسی قرار داده و سپس نمونه در دمای ۱۲۰ درجه سانتی گراد داخل آون گذاشته شد. پودر حاصل به مدت ۴ ساعت در دمای ۶۰۰ درجه سانتی گراد تحت اتمسفر آرگون داخل کوره قرار داده شد [۱۸-۱۷].

۴-۲- بدنه‌های دیرگداز آلمینا – کربن

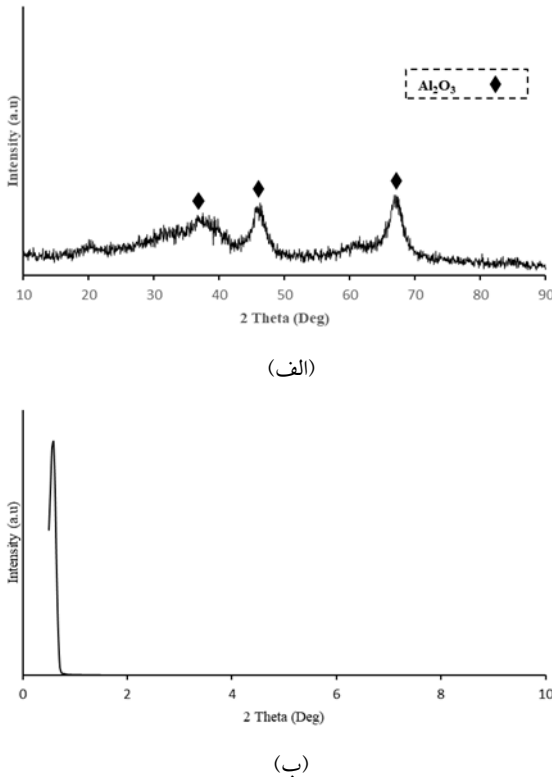
جهت ساخت بدنه آلمینا – کربن از آلمینا راکتیو (CL370., Alteo)، آلمینا تبular با دانه‌بندی (۱-۲)، (۰.۵-۱)، (۰.۵-۰.۵)، (C, ۹۸.۵٪, ≤۴۵µm, Qingdao Xinghe) و پودر، گرافیت (Carbon black, ۷۵-۸۰m²/g, Printon ۱۲۵, Carbores P, Rutgers)، کربورس (Alvan)، سیلیکون، رزین نوالاک و هاردنر هگزامین استفاده گردید. به‌منظور دانه‌بندی ذرات از روش آندریازن اصلاح شده (معادله ۱) استفاده شد که در آن D: اندازه ذره موردنظر، CPFT: درصد حجمی ابیاشتگی ذرات کوچک‌تر از اندازه موردنظر، D_s: اندازه کوچک‌ترین ذره، D_L: اندازه بزرگ‌ترین ذره و q: مدول یا ضریب توزیع می‌باشد که در تحقیق حاضر ۰/۲۶ در نظر گرفته شده است [۱۹].

جدول (۱): معرفی نمونه‌ها در حضور افزودنی‌ها.

مشخصه مواد افزودنی (% وزنی)													ماده اولیه
W	CM۱	CM۲	CM۳	M۱	M۲	M۳	CA۱	CA۲	CA۳	A۱	A۲	A۳	ماده اولیه
-	-	-	-	-	-	-	-	-	-	۰.۵	۱	۱.۵	نانو آلمینا
-	-	-	-	۱.۵	۱	۰.۵	۱	۰.۵	-	-	-	-	نانو کامپوزیت آلمینا - نانولوله کربنی
-	-	-	۱.۵	۱	۰.۵	-	-	-	-	-	-	-	مزوپور آلمینا
-	۱.۵	۱	۰.۵	-	-	-	-	-	-	-	-	-	نانو کامپوزیت مزوپور آلمینا - نانولوله کربنی

۳- روش‌های انجام آزمایش و شاخصه یابی

استحکام فشاری سرد (CCS) با توجه به استانداردهای ۹۹۳-۵ DIN ۹۹۳-۷ و با استفاده از دستگاه universal testing machine (GT-7001-L100) انجام شد. دانسیته بالک (BD) و تخلخل ظاهری (AP) با استفاده از استاندارد DIN ۹۹۳-۱۰ و تغییرات ابعادی خطی (PLC) با استاندارد DIN ۹۹۳-۱۰ انجام پذیرفت. آنالیز فازی XRD با استفاده از دستگاه پراش (Asenware AW-DX300) با لامپ مس و طول موج $\lambda=1.54184 \text{ \AA}$ در محدوده $2\theta = 10^{\circ}-100^{\circ}$ انجام شد. بررسی ریزاساختاری زمینه دیرگذازهای آلمینا-کربن در حضور نانو افزودنی‌ها با میکروسکوپ الکترونی با مدل Zeiss SEM, Germany جهت بررسی سطح ویژه نانو ذرات سنتز شده از دستگاه مدل BELSORP MINI II کمپانی BEL ژاپن استفاده گردید.



شکل (۱): الگوی XRD مزوپور آلمینا (الف): (۰-۱۰) درجه و ب: (۰-۹۰) درجه.

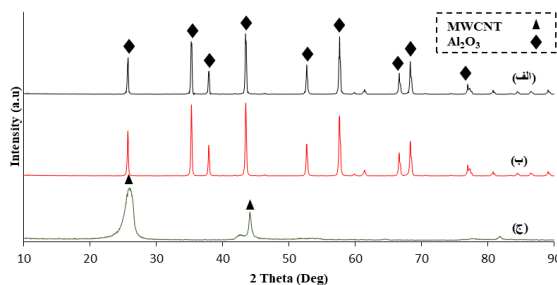
جهت اندازه‌گیری سطح ویژه از آزمون BET استفاده شده است. پارامترهای ساختاری که از این آزمون به دست می‌آید، در جدول (۲) خلاصه شده است. جهت اثبات مزوپور بودن آلمینا الگوی آزمون مورد بررسی قرار گرفت بر اساس دسته‌بندی آیوپاک نوع IV است، همچنین نتایج نشان داد حلقه هیسترزیس به دست آمده شکل (۲)، تقریباً مشابه نوع H_2 می‌باشد که بیانگر مزوپورها است. بر اساس نتایج به دست آمده در این نمونه سطح ویژه حدود ۱۱۲.۲۱ m^2/g و ابعاد تخلخل 13.41 nm می‌باشد. با توجه به جدول (۲) مشاهده می‌شود بیشترین سطح ویژه مربوط به کامپوزیت MWCNT- Mesoporous Al_2O_3 است که

۴- نتایج و بحث

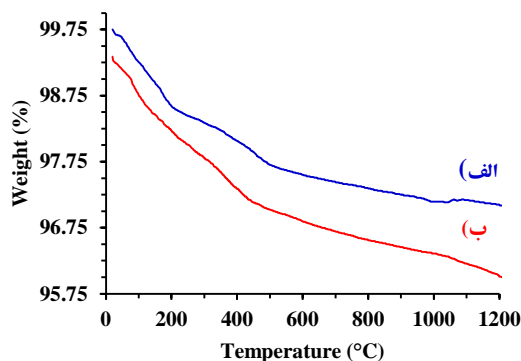
۴-۱- بررسی آنالیز فازی، افتراء سنجی حرارتی و سطح ویژه مزوپور آلمینا و نانو کامپوزیت CM CA

الگوی XRD مزوپور آلمینای سنتز شده در زوایای کم 10° و معمولی $(90-10^{\circ})$ در شکل (۱) آورده شده است. همان گونه که در شکل (۱-الف) به خوبی قابل مشاهده است حضور پیک در محدود $0/5-1$ درجه اثباتی بر حضور ساختار مزوپور بوده است. با توجه به شکل (۱-ب) ذرات آلمینا بدون هیچ گونه ناخالصی سنتز گردیده است. همچنین حضور پیک‌هایی در $2\Theta = 20^{\circ}, 37^{\circ}, 45^{\circ}, 66^{\circ}$ به ترتیب بیانگر صفحات (۳۱۱)، (۴۰۰) و (۴۴۰) آلمینا می‌باشد [۲۰].

۱۲۰۰ درجه سانتی گراد کاهش وزن ادامه دارد. منحنی (ب) مربوط به کامپوزیت CA می باشد که همان طور که مشخص است کاهش وزن بیشتری نسبت به نمونه آلمینا دارد و می توان به سوختن MWCNT نسبت داد [۲۱-۲۳].



شکل (۳): الگو XRD مربوط به: (الف) MWCNT-Al₂O₃ و (ج) Nano Al₂O₃



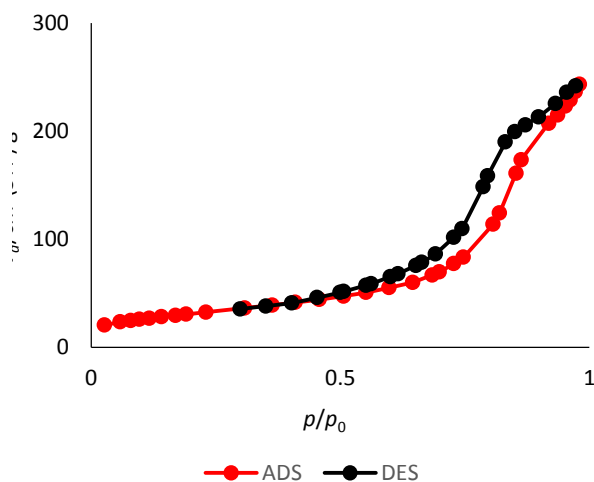
شکل (۴): آنالیز حرارتی: (الف) MWCNT-Nano Al₂O₃ و (ب) Nano Al₂O₃

۲-۴- بررسی خواص فیزیکی و مکانیکی دیرگدازهای آلمینا -کربن در حضور نانو افزودنی های تهیه شده
میانگین نتایج خواص فیزیکی و مکانیکی نمونه های با و بدون افزودنی های نانو آلمینا، مزوپور آلمینا و نانو کامپوزیت MWCNT-Al₂O₃ با مورفولوژی های مختلف آلمینا پس از عملیات حرارتی در دمای ۱۴۵۰ درجه سانتی گراد در جدول (۳) نشان داده شده است.

می تواند به مورفولوژی MWCNT نسبت داد زیرا هر دو جزء دارای سطح ویژه بالایی می باشند.

جدول (۲): سطح ویژه نانو افزودنی های حاصل از آزمایش BET

BET plot	
Mesoporous Al ₂ O ₃	۱۱۲.۲۱ [m ² g ^{-۱}]
Al ₂ O ₃	۱۵ [m ² g ^{-۱}]
MWCNT	۶۰ [m ² g ^{-۱}]
MWCNT- Al ₂ O ₃	۳۶.۱۲ [m ² g ^{-۱}]
Mesoporous Al ₂ O ₃ -MWCNT	۱۳۲.۴۸ [m ² g ^{-۱}]



شکل (۲): منحنی جذب و واجدب نمونه مزوپور آلمینا.

شکل (۳) الگوی XRD مربوط به کامپوزیت MWCNT-Al₂O₃ را نشان می دهد. شکل (۳-ج) مربوط به الگو پراش اشعه ایکس MWCNT و شکل (۳-ب) مربوط به Al₂O₃ همان طور که مشخص می باشد هر دو ماده کاملاً خالص می باشد. همان گونه که از الگو پراش اشعه ایکس مشخص می باشد به دلیل کم بودن درصد وزنی (1 Wt%) در نمونه قابل مشاهده نمی باشد. جهت بررسی حضور MWCNT از آنالیز TG استفاده گردید. همان گونه که در تصویر (۴) مشاهده می شود اولین کاهش دما مربوط به تجزیه گروه های کربوکسیلیک می باشد. در نمونه (الف) که نشان دهنده نانو آلمینا است کاهش وزن تا ۴۰۰ درجه سانتی گراد مربوط به از دست دادن رطوبت اولیه می باشد و تا

جدول (۳): نتایج خواص فیزیکی و مکانیکی نمونه‌های سنتز شده در دمای ۱۴۵۰ درجه سانتی‌گراد.

ترکیب شیمیایی	نام اختصاری	چگالی کلی (g/cm ³)	تخلل ظاهری (%)	استحکام فشاری سرد (MPa)	CCS (MPa)
مرجع	W	۲.۸۹	۰.۰۱	۱۳.۴۲	۱۱۰ ۱.۸
نانو آلمینا (۵۰ نانومتر)	A1	۲.۹۶	۰.۰۱	۱۳.۰۶	۱۲۷.۴ ۲.۰۵
نانو آلمینا (۵۰ نانومتر)	A2	۲.۹۸	۰.۰۱	۱۲.۷۳	۱۳۱.۲ ۳.۵۰
نانو آلمینا (۵۰ نانومتر)	A3	۲.۹۵	۰.۰۱	۱۴.۴۲	۱۰۸.۴ ۲.۶۶
نانو آلمینا (۵۰ نانومتر)	M1	۲.۹۳	۰.۰۱	۱۳.۶۲	۱۰۹.۰ ۱.۳۶
نانو آلمینا (۵۰ نانومتر)	M2	۲.۹۵	۰.۰۵	۱۳.۱۱	۱۲۴.۷ ۱.۶۶
نانو آلمینا (۵۰ نانومتر)	M3	۲.۹۱	۰.۰۲	۱۴.۶۷	۹۴ ۱.۰۸
نانو آلمینا (۵۰ نانومتر)	CA1	۳.۰۳	۰.۰۵	۱۲.۰۹	۱۳۱.۸ ۱.۴۵
نانو آلمینا (۵۰ نانومتر)	CA2	۳.۰۴	۰.۰۲	۱۱.۸۹	۱۳۷.۰ ۱.۹۱
نانو آلمینا (۵۰ نانومتر)	CA3	۲.۹۶	۰.۰۱	۱۴.۷۷	۱۱۵.۶ ۱.۳۳
نانو آلمینا (۵۰ نانومتر)	CM1	۲.۹۴	۰.۰۲	۱۴.۳۲	۱۱۲.۴ ۱.۶۴
نانو آلمینا (۵۰ نانومتر)	CM2	۲.۹۶	۰.۰۱	۱۳.۲۸	۱۲۷.۲ ۱.۷۱
نانو آلمینا (۵۰ نانومتر)	CM3	۲.۹۳	۰.۰۱	۱۴.۸۲	۹۷.۵ ۱.۷۳

می‌تواند به دلیل پدیده کلوخه‌ای شدن ذرات در بالاتر از ۱ درصد وزنی باشد که این پدیده توسط بخش و همکارانش^{۱۰} نشان داده شده است [۲۹-۲۷]. در کل با مقایسه نمونه‌ها با نمونه‌ی مرجع (نمونه فاقد افزودنی) مزوپور آلمینا خواص پایین‌تری را نشان داد.

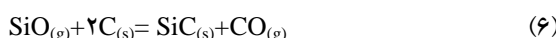
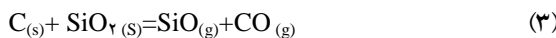
۳-۴- آالیز فازی بدنه آلمینا - کربن قبل و بعد از پخت در حضور افزودنی‌های نانو آلمینا، مزوپور آلمینا و نانو کامپوزیت CA و CM

آنالیز XRD به منظور بررسی پیک‌های قبل و بعد از پخت نمونه‌های تهیه شده در دمای ۱۴۵۰ درجه سانتی‌گراد در زیر کک انجام شد. همان‌طور که در شکل (۵) مشاهده می‌شود پیک‌های مربوط به Si در نمونه‌های قبل از پخت به طور کامل قابل ملاحظه می‌باشد و پس از انجام پخت نمونه‌ها زیر کک در دمای ۱۴۵۰ درجه سانتی‌گراد شدت پیک‌های مربوط به Si کاهش یافته و پیک‌های ضعیف SiC تشکیل شده است. جهت تأیید نتایج ذکر شده از آنالیز SEM استفاده گردید [۷].

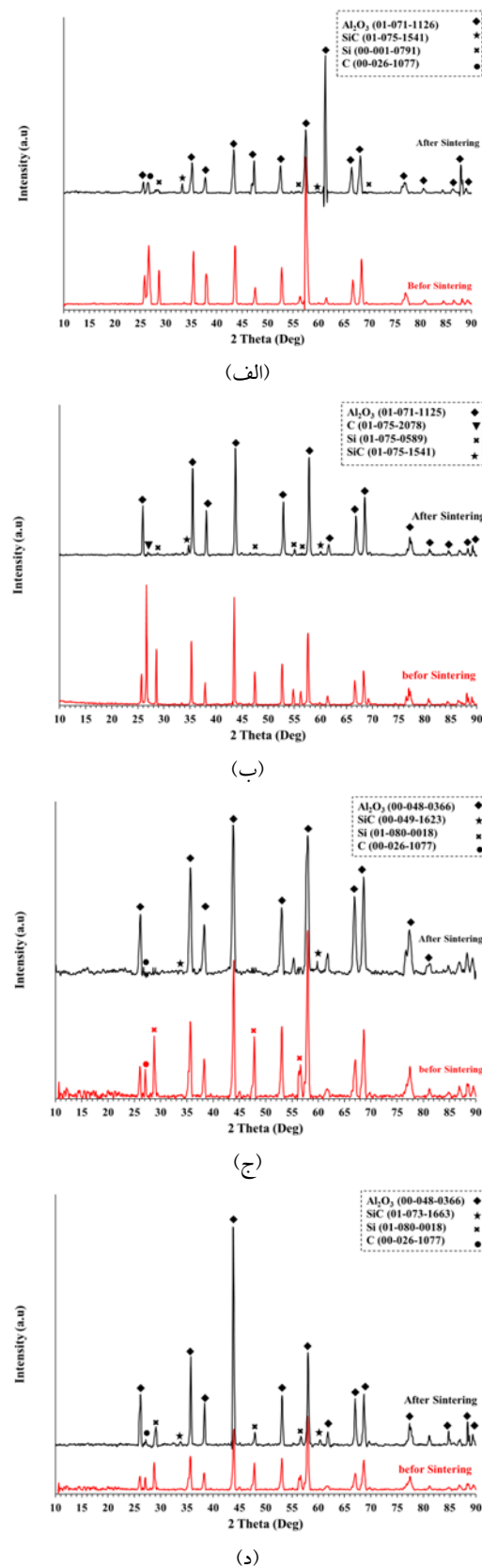
از مقایسه نمونه حاوی نانو آلمینا و نمونه حاوی مزوپور آلمینا چنین استنباط می‌شود که در نمونه مزوپور آلمینا چگالی و استحکام کاهش یافته است و میزان تخلخل ظاهری آن افزایش یافته که این موضوع مربوط به ماهیت مزوپورها است. همچنین از مقایسه نانو آلمینا و کامپوزیت CA_۲ MWCNT-Al_۲O_۳ مشاهده می‌شود که کامپوزیت CA_۲ چگالی و استحکام فشاری سرد بالاتری نسبت به نمونه نانو آلمینا دارد با توجه به مطالعات انجام شده در این پژوهه و سایر پژوهشگران به نظر می‌رسد که MWCNT و آلمینا می‌توانند در بدنه‌های Al_۲O_۳-C خواص فیزیکی و مکانیکی را بهبود بخشند. از سوی دیگر با مقایسه نمونه A_۲ و نمونه مرجع W استحکام فشاری سرد حدود ۱۹ درصد افزایش یافته و همچنین از مقایسه نانو کامپوزیت CA_۲ با نمونه مرجع مشاهده گردید که در نانو کامپوزیت CA_۲ باعث افزایش ۲۴ درصدی استحکام فشاری سرد شده است. علت این افزایش استحکام را از یک سو می‌توان به افزایش تافنس شکست آلمینا در حضور MWCNT توسط پدیده‌ی پل زدن ترک و از سوی دیگر افزایش استحکام دهی توسط انتقال بار بین MWCNT و آلمینا نسبت داد که این مطالعات توسط چان و وی^۸ نیز تأیید گردیده است [۲۶-۲۴]. از سوی دیگر با افزایش درصد نانو افزودنی‌ها تا ۱ درصد وزنی استحکام فشاری سرد افزایش یافته اما با افزایش نانو افزودنی‌ها تا ۰/۵ درصد وزنی استحکام فشاری سرد کاهش یافته است که

۴-۴- بررسی ریزساختاری (SEM) بدن‌های آلمینا - کربن

Rیزساختار SEM نمونه‌های CA₂ (Al₂O₃ ۱٪/Wt,) A₂, (۱٪/ Wt, Morous Al₂O₃) M₂, (۱٪/Wt,MWCNT-Al₂O₃) (۱٪/ Wt, MWCNT- Mesoporous Al₂O₃) CM₂ آورده شده است. جهت بررسی مکانیزم تغییرات فوق می‌توان چنین استباط نمود که جهت تشکیل ویسکر مکانیزم جامد-بخار و بخار-مایع-جامد دخیل می‌باشد. زینگ لی و همکارانش نشان دادند که واکنش‌های زیر منجر به تشکیل SiC از طریق واکنش فازهای گازی به صورت زیر می‌باشد [۳۰].

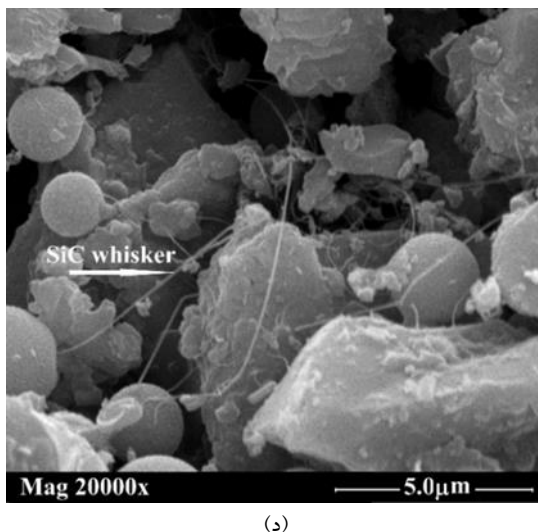


بررسی تصاویر (الف و ب) نشان می‌دهد که ۱ درصد وزنی نانو کامپوزیت کد CA₂ میزان ویسکر SiC بیشتری نسبت به نمونه نانو آلمینا کد A₂ دارد. این نمونه با توجه به رابطه (۶) و در نظر گرفتن این نکته که کربن موجود در واکنش شامل کربن ناشی از رزین، کربورس P و MWCNT بوده وجود CNT و مورفولوژی خاص آن توجیه‌پذیر می‌باشد. وجود CNT و مورفولوژی خاص آن دلیلی بر تقویت جوانهزنی و رشد فاز SiC سوزنی می‌باشد. همچنین از مقایسه نمونه حاوی ۱ درصد مزوپور آلمینا کد M₂ با سایر نمونه‌ها نشان داده شد که نمونه حاوی مزوپور آلمینا کد M₂ مقدار SiC کمتری نسبت به نمونه حاوی نانو آلمینا کد A₂ و نانو کامپوزیت کد CA₂ دارد این موضوع به دلیل کاهش CO_(g), SiO_(g) و جذب بیشتر آن توسط ساختار مزوپور آلمینا که سطح ویژه بسیار بالاتری نسبت به دیگر اجزاء سازنده دارد ارتباط داده شد [۳۱-۳۰].

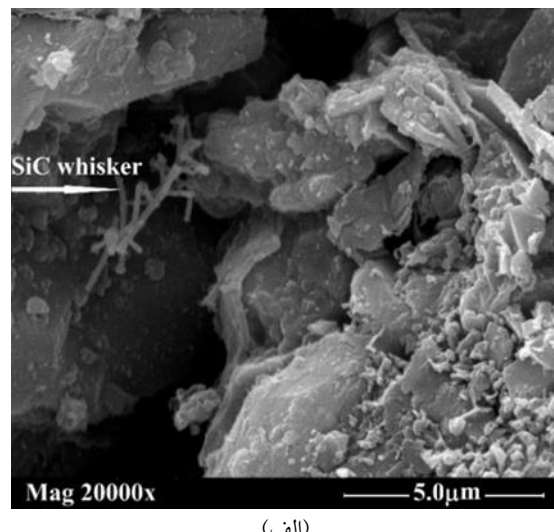


شکل (۵): الگو پراش پرتوایکس نمونه‌های: (الف) ۱٪/Wt, Al₂O₃، (ب) ۱٪/ Wt, MWCNT-Al₂O₃، (ج) MWCNT- (۱٪/ Wt Mesoporous Al₂O₃)

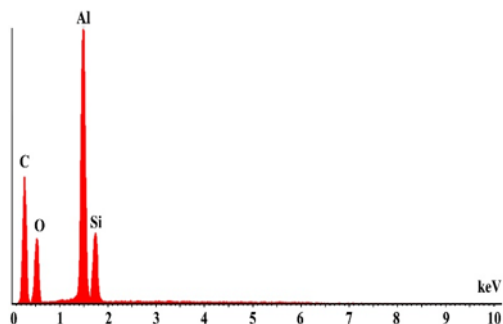
۳۱ و ۳۰. °C ۱۴۵۰ قبل و بعد از پخت.



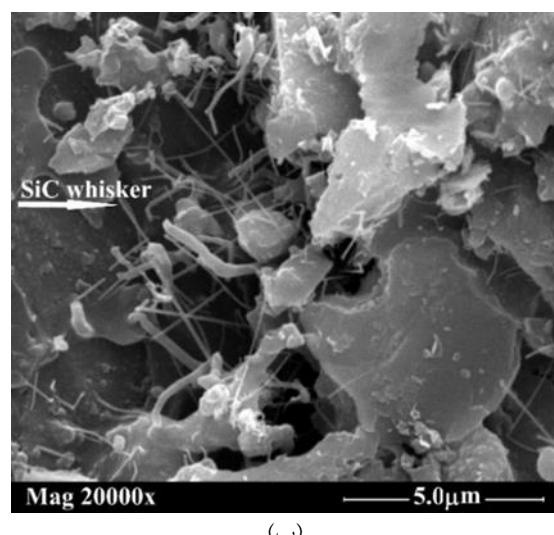
(د)



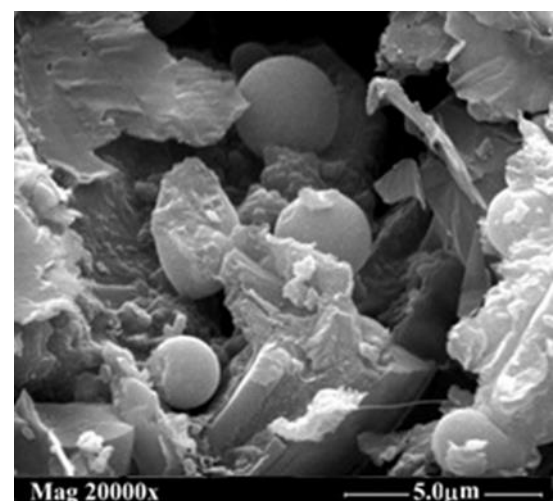
(الف)



شکل (۶): ریزنگار SEM نمونه‌های الف) (۱٪/Wt,Al_۲O_۳)، ب) (۱٪/Wt,Mesoporous Al_۲O_۳)، ج) (۱٪/Wt,MWCNT-Al_۲O_۳) و د) (۱٪/Wt,MWCNT-Mesoporous Al_۲O_۳) بعد از پخت در ۱۴۵۰°C.



(ب)



(ج)

۵- نتیجه‌گیری

نتایج تحقیق حاضر نشان داد که اضافه نمودن ۱ درصد وزنی از افزودنی‌های نانو ساختار می‌تواند تأثیر مثبت بر خواص مکانیکی داشته و درصد بالاتر از آن به دلیل سطح ویژه بالا و تمایل به کلوخه‌ای شدن توصیه نمی‌گردد. همچنین نتایج CA_۲ اثبات نمود که نمونه حاوی ۱ درصد وزنی کامپوزیت MWCNT استحکام فشاری سرد در حدود ۱۳۷ MPa دارد. حصول نتیجه فوق در ارتباط مستقیم با Al_۲O_۳ و MWCNT به صورت نانو کامپوزیت بوده که در تشکیل شدن SiC سیترینگ فاز زمینه و بهبود استحکام دیرگداز تأثیرگذار است.

Ceramic sience and technology, vol. 7, pp. ۲۰۹-۲۲۲, ۲۰۱۶.

[۱۰] Z. Huizhong, W. Bin & W. Houzhi, "Influences of nano-alumina and nano-silica on sintering and mechanical property of corundum refractories", Naihuo Cailiao, pp. ۴۷۲-۴۸۲, ۲۰۰۲.

[۱۱] C. G. Aneziris, U. Klippel, W. Scharfl, V. Stein & Y. Li, "Functional refractory material design for advanced thermal shock performance due to Titania additions", Applied Ceramic Technology, vol. 4, no. 1, pp. ۴۸۱-۴۸۹, ۲۰۰۷.

[۱۲] Z. Ji, N. Liao, Y. Li, M. Nath, T. Zhu & L. Pan, Y. Dai, "Effect of h-BN on the microstructure and fracture behavior of low carbon Al_xO_y-C refractories", Ceramics International, vol. 47, no. 11, pp. ۲۹۹۰۰-۲۹۹۰۷, ۲۰۲۱.

[۱۳] A. Baghaei, A. B. Nourbakhsh & R. Ebrahimi Kahrizsangi, "Inclusion removal mechanisms of Al-Killed ۳۰۴ low carbon stainless steel melt using hercynite coted Al_xO_y-C ceramic foam filters", Advance Materials and processing, vol. 9, no. 2, pp. ۲۷-۳۷, ۲۰۲۱.

[۱۴] S. Badogaa, R. V. Sharmaa, A. K. Dalai & J. Adjaye, "Synthesis and characterization of mesoporous aluminas with different pore sizes: Application in NiMo supported catalyst for hydrotreating of heavy gas oil", Applied Catalysis A: general, vol. 489, pp. ۸۶-۹۷, ۲۰۱۰.

[۱۵] N. Bakhsh, F. A. Khalid & A. S. Hakeem, "Synthesis and characterization of pressureless sintered carbon nanotube reinforced alumina nano composites", Materials science and engineering: A, vol. 578, pp. ۴۲۲-۴۲۹, ۲۰۱۳.

[۱۶] L. kumaria, T. Zhang, G. H. Du, W. Z. Li, Q. W. Wang, A. Datyec & K. H. Wu, "Termal of properties CNT-Alumina nanocomposites", composite science and technology, vol. 78, no. 9, pp. ۲۱۷۸-۲۱۸۳, ۲۰۰۸.

[۱۷] A. Kołodziejczak-Radzimska, A. Budna, F. Ciesielczyk, D. Moszyński & T. Jesionowski, "Laccase from *Trametes versicolor* supported onto mesoporous Al_xO_y: Stability tests and evaluations of catalytic activity", Process Biochemistry, vol. 90, pp. ۷۱-۸۰, ۲۰۲۰.

[۱۸] S. Lu & Y. Liu, "Preparation of meso-macroporous carbon nanotube-alumina composite monoliths and their application to the preferential oxidation of CO in hydrogen-rich gases", Applied catalysis B: Environmental, vol. 111-112, pp. ۴۹۲-۵۰۱, ۲۰۱۲.

نتایج نمونه CM₂ نشان داد که علی رغم سطح ویژه بالاتر و به دلیل طبیعت متخلخل آن واکنش های جامد-بخار و بخار-مایع- جامد با اختلال رو به رو شده و ویسکرهای SiC کاهش یافته است و در کل خواص مکانیکی نمونه شامل ۱ درصد وزنی در حدود ۷ درصد کاهش یافته است.

۶- مراجع

[۱] N. Liao, Y. Li, Sh. Jin, Sh. Sang & G. Liu, "Reduced brittleness of multi-walled carbon nanotubes (MWCNT) containing Al_xO_y-C refractories with boron carbide", Materials science & engineering A, vol. 698, pp. ۸۰-۸۷, ۲۰۱۷.

[۲] C. Atzenhofer, S. Gschiel & H. Harmuth, "Phase formation in Al_xO_y-C refractories with Al addition", Journal of the European Ceramic Society, vol. 37, no. 4, pp. ۱۸۰۵-۱۸۱۰, ۲۰۱۷.

[۳] V. Roungos & C. G. Aneziris, "Improved thermal shock performance of Al_xO_y-C refractories due to nano-scaled additives", Ceramics International, vol. 38, no. 2, pp. ۹۱۹-۹۲۷, ۲۰۱۲.

[۴] H. B. Fan, Y. W. Li & S. B. Sang, "Microstructures and mechanical properties of Al_xO_y-C refractories with silicon additive using different carbon sources", Materials Science and Engineering A, vol. 528, no. 7-8, pp. ۳۱۷۷-۳۱۸۵, ۲۰۱۱.

[۵] H. Shikano, "Refractories Handbook", Technical Association of refractories, ۱۹۹۸.

[۶] M. Luo, Y. Li, Sh. Jin, Sh. Sang, L. Zhao & Y. Li, "Microstructures and mechanical properties of Al_xO_y-C refractories with addition of multi walled carbon nanotubes", Materials science and engineering A, vol. 548, pp. ۱۳۴-۱۴۱, ۲۰۱۲.

[۷] V. Roungos, C. G. Aneziris & H. Berek, "Novel Al_xO_y refractories with less residual carbon due to nanoscaled additives for continuous steel casting application", Advance Engineering materials, vol. 14, no. 4, pp. ۲۵۰-۲۶۴, ۲۰۱۲.

[۸] V. Roungos & C. G. Aneziris, "Improved thermal shock performance of Al_xO_y-C refractories due to nanoscaled additives", ceramics international, vol. 38, no. 2, pp. ۹۱۹-۹۲۷, ۲۰۱۲.

[۹] N. Brachhold, J. Fruhstorfer, A. Mertke & C. G. Aneziris, "Carbon bonded alumina refractories with reduced carbon content due to the addition of semi-conductive silicon and/or nanoparticles", Journal of

alumina nanocomposites", materials science and engineering, vol. ٦٠, no. ١, ٢٠١٤.

[٢٨] I. Ahmad, M. Unwin, H. Co, H. Chen, H. Zhao, A. Kennedy & Y. Q. Zhu, "Multi-walled carbon nanotubes reinforced Al_٢O_٣ nanocomposites: Mechanical properties and interfacial investigations", composite science and technology, vol. ٧٠, no. ٨, pp. ١١٩٩-١٢٠٦, ٢٠١٠.

[٢٩] F. Liang, N. Li & B. Liu & Zh. He, "Processing and characterization of Multi-walled carbon nanotubes containing alumina-carbon refractories prepared by nanocomposite powder technology", Metal and Materials Society and ASM international, vol. ٤٧B, pp. ١٦٦١-١٦٦٨, ٢٠١٦.

[٣٠] X. Li, G. Zhang, R. Tronstad & O. Ostrovski, "Synthesis of SiC whiskers by VLS and VS process", ceramics international, vol. ٤٢, no. ٥, pp. ٥٦٨-٥٧٦, ٢٠١٥.

[٣١] A. W. Weimer, K. J. Nilsen, G. A. Cocheran & R. P. Roach, "Kinetics of carbothermal reduction Synthesis of beta silicon carbide" ceramics and advanced material research, vol. ٣٩, no. ٣, pp. ٤٩٣-٥٠٣, ١٩٩٣.

- پی‌نوشت

[١] Li et al

[٢] Carbon Nanotube

[٣] Multi Wall Carbon Nanotube (MWCNT)

[٤] Roungos et al

[٥] Anezirs et al

[٦] Brachhold et al

[٧] Z. Huizhong et al

[٨] Chan & Wei

[٩] Bakhs

[١٩] A. P. Daluz, M. A. L. Braulio & V. C. Pandolfelli, "Refractory castable engineering", Germany, Göller Verlag, ٢٠١٥.

[٢٠] S. Badoga, R. Sharma, A. Dalai & J. Adjaye, "Synthesis and characterization of mesoporous alumina with different pore sizes: Application in NiMo supported catalyst for hydrotreating of heavy gas oil", Applied Catalysis A: General, vol. ٤٨٩, pp. ٨٦-٩٧, ٢٠١٥.

[٢١] L. Ahmad, M. Unwin, H. Cao, H. Chen, H. Zhao, A. Kennedy & Y. Q. Zhu, "Multi-walled carbon nanotubes reinforced Al_٢O_٣ nanocomposites: Mechanical properties and interfacial investigations", composites science and technology, vol. ٧٠, no. ٨, pp. ١١٩٩-١٢٠٦, ٢٠١٠.

[٢٢] H. Barzegar-Bafrooei & T. Ebadzadeh, "Synthesis of nanocomposite powders of alumina carbon nanotube by sol-gel method", advanced powder technology, vol. ٢٢, no. ٣, pp. ٣٦٦-٣٦٩, ٢٠١١.

[٢٣] F. Inam, A. Heaton, P. Brown, T. Peijs & M. Reece, "Effect of dispersion surfactants on the properties of ceramic-carbon nanotube (CNT) nanocomposites", ceramics international, vol. ٤١, no. ١, pp. ٥١١-٥١٦, ٢٠١٤.

[٢٤] B. Chan, I. Moseung, T. Chakyung, H. Kimkyung, H. Leesoon & H. Hong, "Fabrication of carbon nanotube reinforced alumina matrix nanocomposite by sol-gel process", materials science and engineering A, vol. ٣٩٠, no. ١-٢, pp. ١٢٤-١٢٨, ٢٠٠٥.

[٢٥] T. Wei, Zh. Fan, G. Luo & F. Wei, "A new structure for multi-walled carbon nanotubes reinforced alumina nanocomposite with high strength and toughness", Materials Letters, vol. ٦٢, no. ٤-٥, pp. ٦٤١-٦٤٤, ٢٠٠٨.

[٢٦] S. Sarkar & P. Kr. Das, "Processing and properties of carbon nanotube/alumina nanocomposites: a review", advance study center, vol. ٣٧, no. ١, pp. ٥٣-٨٢, ٢٠١٤.

[٢٧] N. Bakhsh, F. A. Khalid & A. S. Hekeem, "Effect of sintering temperature on densification and mechanical properties of pressureless sintered CNT-